

Eingabe: Farbmetrisches Fernseh-Licht-System TLS00a

für Buntton $h^* = lab^*h = 40/360 = 0.111$

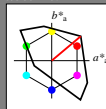
lab^*ch und lab^*nch

D65: Buntton O

LCH*Ma: 51 100 40

olv*Ma: 1.0 0.0 0.0

Dreiecks-Helligkeit t^*



%Umfang

$u^*_{rel} = 158$

%Regularität

$g^*_{H,rel} = 20$

$g^*_{C,rel} = 37$

TLS00a; adaptierte CIELAB-Daten

	$L^* = L^*_a$	a^*_a	b^*_a	$C^*_{ab,a}$	$h^*_{ab,a}$
O _{Ma}	50.5	76.91	64.55	100.41	40
Y _{Ma}	92.66	-20.67	90.75	93.08	103
L _{Ma}	83.62	-82.73	79.9	115.02	136
C _{Ma}	86.88	-46.14	-13.53	48.1	196
V _{Ma}	30.39	76.06	-103.59	128.52	306
M _{Ma}	57.31	94.35	-58.39	110.96	328
N _{Ma}	0.01	0.0	0.0	0.0	0
W _{Ma}	95.41	0.0	0.0	0.0	0
R _{CIE}	39.92	58.74	27.99	65.07	25
J _{CIE}	81.26	-2.88	71.56	71.62	92
G _{CIE}	52.23	-42.41	13.6	44.55	162
B _{CIE}	30.57	1.41	-46.46	46.49	272

Ausgabe: Farbmetrisches Fernseh-Licht-System TLS00a

für Buntton $h^* = lab^*h = 40/360 = 0.111$

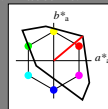
lab^*ch und lab^*nch

D65: Buntton O

LCH*Ma: 51 100 40

olv*Ma: 1.0 0.0 0.0

Dreiecks-Helligkeit t^*



%Umfang

$u^*_{rel} = 158$

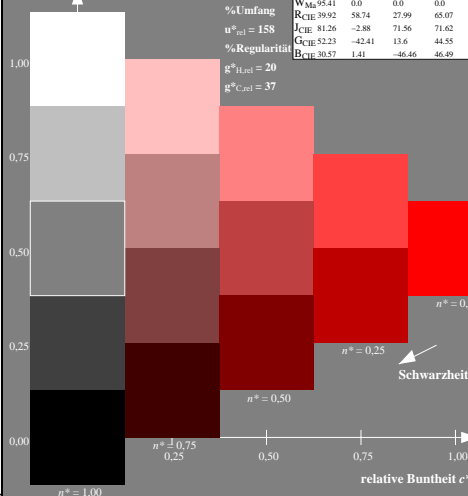
%Regularität

$g^*_{H,rel} = 20$

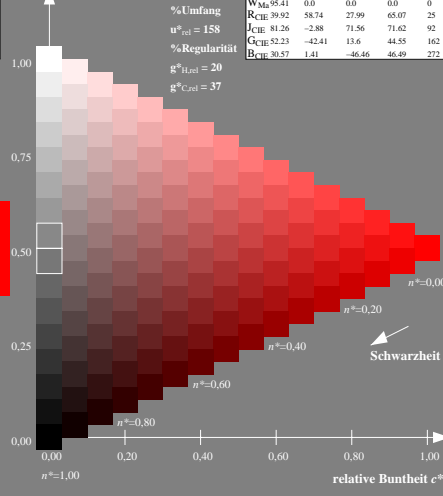
$g^*_{C,rel} = 37$

TLS00a; adaptierte CIELAB-Daten

	$L^* = L^*_a$	a^*_a	b^*_a	$C^*_{ab,a}$	$h^*_{ab,a}$
O _{Ma}	50.5	76.91	64.55	100.41	40
Y _{Ma}	92.66	-20.67	90.75	93.08	103
L _{Ma}	83.62	-82.73	79.9	115.02	136
C _{Ma}	86.88	-46.14	-13.53	48.1	196
V _{Ma}	30.39	76.06	-103.59	128.52	306
M _{Ma}	57.31	94.35	-58.39	110.96	328
N _{Ma}	0.01	0.0	0.0	0.0	0
W _{Ma}	95.41	0.0	0.0	0.0	0
R _{CIE}	39.92	58.74	27.99	65.07	25
J _{CIE}	81.26	-2.88	71.56	71.62	92
G _{CIE}	52.23	-42.41	13.6	44.55	162
B _{CIE}	30.57	1.41	-46.46	46.49	272



IG390-7N, 5-stufige Reihen für konstanten CIELAB Buntton 40/360 = 0.111 (links)



16-stufige Reihen für konstanten CIELAB Buntton 40/360 = 0.111 (rechts)